

- of cerebral infarction[J]. Top MRI, 1998, 9(4) : 199-207.
- 9 Miles KA. Measurement of tissue perfusion by dynamic computed tomography[J]. Br J Radid, 1991, 64(3) : 409-412.
- 10 Miles KA, Hayball MP, Dixon AK. Functional images of hepatic perfusion obtained with dynamic CT[J]. Radiology, 1993, 188(8) : 405-411.
- 11 Hamberg LM, Hunter GJ, Halpern EF, et al. Quantitative, high resolution measurement of cerebral vascular physiology with slip-ring CT[J]. AJNR, 1996, 17(4) : 639-650.
- 12 Edelman RR, Mattle HP, Alkinson DJ, et al. Cerebral blood flow: assessment with dynamic contrast-enhanced T₂-weighted MR imaging at 1.5T[J]. Radiology, 1990, 176(7) : 211-220.
- 13 Reith W, Forsting M, Volger H, et al. Early MR detection of experimentally induced cerebral ischemia using magnetic susceptibility contrast agents: comparison between gadopentetate dimeglumine and iron oxide particles[J]. AJNR, 1995, 16(1) : 53-60.
- 14 Powers WJ. Cerebral hemodynamics in ischemic cerebrovascular disease[J]. Ann Neural, 1991, 29(2) : 231-240.
- 15 Rempp KA, Brix GB, Wenz F, et al. Quantification of regional cerebral blood flow and volume with dynamic susceptibility contrast-enhanced MR imaging[J]. Radiology, 1994, 193(12) : 637-641.
- 16 Nighoghossian N, Berthezen Y, Philippon B, et al. Hemodynamic parameter assessment with dynamic susceptibility contrast MRI in unilateral symptomatic internal carotid artery occlusion[J]. Stroke, 1996, 27(3) : 474-479.
- 17 Lovblad KO, Laubach HJ, Baird AE, et al. Clinical experience with diffusion-weighted MR in patient with acute stroke[J]. AJNR, 1998, 19(6) : 1061-1066.
- 18 Gray L, Macfall J. Overview of diffusion imaging[J]. MRI Clin North Am, 1998, 6(1) : 125-138.
- 19 Rosen BR, Belliveau JW, Buchbinder BR, et al. Contrast agent and cerebral hemodynamics[J]. Magn Reson Med, 1991, 19(5) : 285-292.
- 20 Nakayama Y, Ueno Y, Tanaka A, et al. Diagnostic value of perfusion MRI in classifying stroke[J]. Keio J Med, 2000, 49(Suppl) : 51-54.
- 21 Konig M, Klotz E, Heuser L. Cerebral perfusion CT: theoretical aspects, methodical implementation and clinical experience in the diagnosis of ischemic cerebral infarction[J]. ROFO Fortsch Geb Rontgenstr Neuen Bildgeb Verfahr, 2000, 172(3) : 201-218.

(2001-09-04 收稿)

腹膜后巨大上皮样血管内皮细胞瘤一例

· 病例报道 ·

姜辉 刘禄明 李炎

【中图分类号】R735.4 【文献标识码】D 【文章编号】1000-0313(2002)04-0363-01

病例资料 患者,男,73岁。尿频、尿痛、夜尿增多1年。患者1年前无明显诱因出现尿频、尿痛,为排尿终末痛,并伴排尿不畅感,夜尿增多(3~4次/夜)。

查体:下腹部稍膨隆,下腹部偏右侧可扪及一约10cm×8cm质中包块,无压痛,边界不清,不活动。B超检查:膀胱右侧可探及15.7cm×7.3cm×10.6cm大小的不均质回声团块,边界尚清,形态欠规则,提示“盆腔实质性占位病变”。

CT检查:盆腔内腹膜后见约13.0cm×9.0cm×16.0cm的巨大不均质强化软组织肿块,内见斑片状低密度坏死及条索状高密度强化影,推压膀胱向左前方移位并分界不清,膀胱腔变形变小,左右两缘及后缘与小肠壁、直肠壁粘连,矢状重建示宽基底于骶椎前缘的梭形纵行生长的软组织肿块,向前突入腹腔内,达腹前壁,CT诊断为腹膜后恶性肿瘤。

手术所见:肿瘤位于盆腔腹膜后,占据整个盆腔,向上达脐部,将肠系膜向前、上推移,肿块固定且境界不清,质地中等,分离肿物与盆底的粘连,不能将膀胱壁显露,切开肿瘤的包膜,其内为烂鱼肉样组织,血运丰富,出血较多。

病理诊断:腹膜后上皮样血管内皮细胞瘤。

讨论 上皮样血管内皮瘤,又称组织细胞样血管内皮瘤,由具有组织细胞或上皮样表现的内皮细胞构成^[1]。文献检索

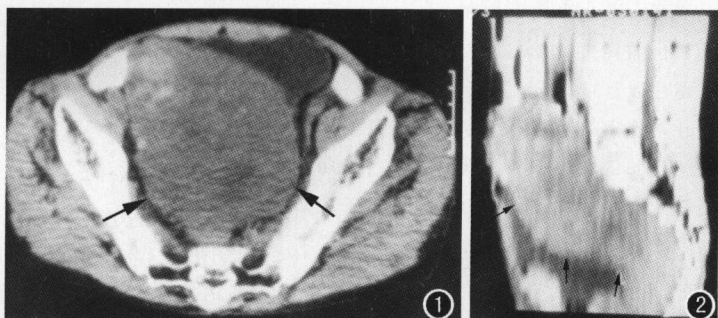


图1 盆腔内巨大形态不规则的实质性组织肿块(→),推压膀胱变形并向左前移位。图2 矢状重建见骶椎前缘长梭形纵行生长肿块(→),向前突入腹腔内,前缘达腹前壁,挤压膀胱变形。

仅见于个案报道,可发生于脑、眼眶、纵隔、腹腔淋巴结、肾等部位,原发于腹膜后腔者未见报道,单发多见。症状体征无特异性,依据肿瘤发生部位、大小,及对周围脏器侵犯程度、范围不同而有所差异,20%为偶然发现。本例瘤体因受后腹膜局限,沿腹膜后腔纵行生长,并侵及邻近肠腔及膀胱壁,而以泌尿系统症状首诊。从CT上与其它腹膜后恶性肿瘤难以鉴别,确诊需依据手术病理。

参考文献

- 1 刘彤华. 诊断病理学[M]. 北京:人民卫生出版社,1994. 739-740.
(2002-01-08 收稿)

作者单位:250101 山东,武警山东总队医院 CT 室
作者简介:姜辉(1976~),男,山东威海人,医师,主要从事 CT 诊断工作。